



OPAŽANJE I MODELIRANJE EROZIJE ZASJEKA U MEKOJ STIJENI

¹dr.sc. Goran Vlastelica, dipl.ing.gra .

¹prof.dr.sc.Predrag Miščević, dipl.ing.gra .

¹Tihomir Biloš

¹Fakultet građevinarstva, arhitekture i geodezije u Splitu, Sveučilište u Splitu

Sažetak: U ovom radu prikazani su rezultati terenskih opažanja promjene geometrije zasjeke u mekoj stijeni uslijed kombiniranog utjecaja rastrozbe i erozije. Terenska opažanja vrzena su na pilot lokaciji Žnjan od izrade zasjeke (2002.) te su dovrzena trogodišnjim opažanjem teresti kima laserskim skeniranjem. Na temelju terenskih opažanja, na navedenoj i nizu drugih lokacija sa zireg područja Splita, izvrzena je provjera uporabivosti prikazanih matematičkih modela kao osnova za buduće prognoze promjene geometrije zasjeke u ovom tipu stijena.

Ključne riječi: rastrozba, trajnost, lapor, meka stijena, zasjek, TLS, modeliranje

OBSERVATION AND MODELING OF THE EROSION OF CUTS IN SOFT ROCK

Abstract: This paper presents the results of field observations of changes in the geometry of cuts in soft rock due to the combined effect of weathering and erosion. Field observations were carried out at the pilot site Žnjan from the construction of cuts (2002) and were completed by a three-year observation using terrestrial laser scanning. Based on field observations at the stated site and a number of other ones in the wider area of Split, usability of presented mathematical models was tested as a basis for future predictions of changes in the geometry of cuts in this type of rock.

Key words: weathering, durability, marl, soft rock, cut, TLS, modeling



1. UVOD

Meka stijena je slo0eni prirodni materijal i est uzrok mnogih potezko a u gra evinskoj praksi. Upravo zbog prirodnog porijekla materijala, te izra0ene heterogenosti sredine u kojoj se pojavljuje, esto nije mogu e opisati njena svojstva na razumljiv i primjenjiv na in za svakidaznu praksu. [1] Na podru ju Jadranske obale pojavnost mekih stijena se povezuje uz kompleks sedimentnih naslaga poznatih pod nazivom fliz. Flizni tereni predstavljaju slo0enu geotehni ku i sedimentolozku sredinu izgra enu od litolozki razli itih lanova, pri emu su samo pojedini, zahvaljuju i svom mineralozkom sastavu, izrazito skloni rastrozbi i eroziji. Upravo ta raznolikost lanova kod zasjeke u fliznim stijenskim masama u prvi red isti e problem razli ito stupnjevane rastrozbe i lokalnih odranjanja [2].

Potreba modernog ovjeka da oblikuje sve ve e zahvate u prirodi, bilo za potrebe iskopa sirovina, izgradnje zirokih prometnica, velikih vodoravnih platoa raznih namjena, najvize dolazi do izra0aja u relativno strmim obalnim podru jima Dalmacije (Slika 1.a). Nadalje, kada se navedeni zahvati spreklope% geologzi slabom%podlogom kao zto je fliz, odnosno njegovim smekzim%osastavnicama kao zto je lapor, rezultat esto mo0e biti nepovoljan, kako sa sigurnosnog tako i s estetskog stajalizta (Slika 1.b).



Slika 1. Primjeri antropogenog utjecaja: a) kamenolomi u zirem podru ju grada Splita (izvor: Google earth) i b) zasijecanje kosine na mikrolokaciji na podru ju grada Splita

Iskopi u mekim stijenama se naj ez e moraju izvoditi miniranjem ili pomo u tezkih pneumatskih eki a. Me utim, nakon iskopa zapo inje se razvijati proces razlaganja stijene . rastrozba, kako na povrzini zasjeke tako i kroz unutranjnost stijenske mase. Iako su sve stijene litosfere podlo0ne rastrozbi, njeni u inci su u slu aju mekih stijena vidljivi ve unutar razdoblja od nekoliko mjeseci do nekoliko godina te ih je mogu e zapaziti u okolizu i od strane laika. Iz tog razloga je vrlo bitno poznavati procese koji uzrokuju rastrozbu, kao i njihove mogu e posljedice. Ti procesi se vrlo esto mogu uo iti i na mnogim prirodnim kosinama i zasjecima u fliznim naslagama i na podru ju Dalmacije [1]. Na slici 2. prikazani su primjeri dviju kosina na Jadranskoj magistrali u op inama Podstrana i Dugi rat. Vidljiv je razvijeni proces degradacije laporanja na povrzini kosine s nakupljanjem odlomljenih komada u dnu kosine.

Opa0anje i modeliranje erozije zasjeka u mekoj stijeni

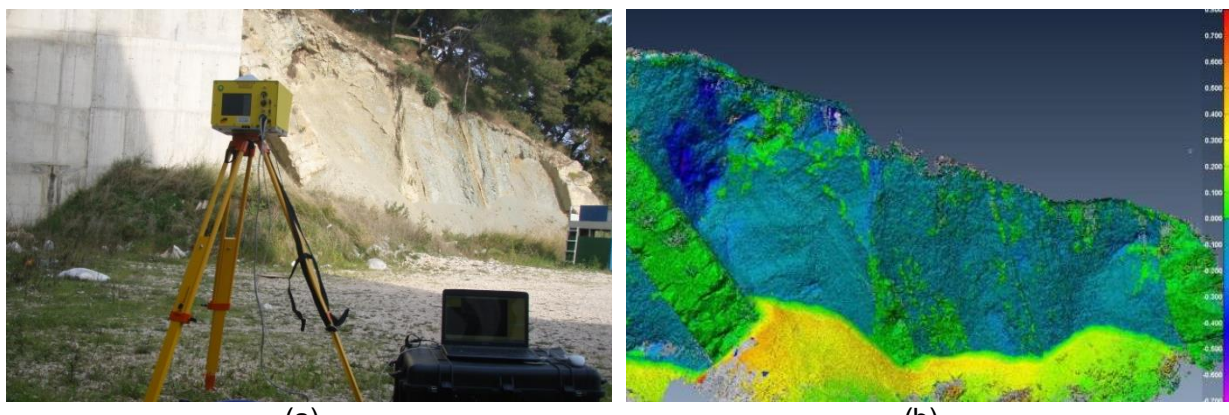
(a)

(b)

Slika 2. Primjeri ogolina na Dalmatinskoj obali: a) kosina uz Jadransku magistralu u opini Podstrana i b) kosina iznad mjesta Duge u opini Dugi rat

Svaki novi uvid u procese, koji uzrokuju nestabilnosti kosina u vremenu, može pomoći u ublažavanju posljedica istih. Razvojem novih tehnologija u području geodezije, u prvom redu LiDAR (Light Detection and Ranging) tehnologije, otvaraju se novi putovi za praćenje promjena zemljine kore i materijala od kojih je sa injena. Te promjene se mogu pratiti na globalnoj razini, ali i na lokalnoj razini upotrebo terestričnih inačica.

LiDAR tehnologija se, u kombinaciji s razliitim platformama (sateliti, zrakoplovi, helikopteri, itd.) razvila u nezaobilazni alat za izradu digitalnih elevacijskih modela (engl. digital elevation model - DEM), ali i za razne primjene u agronomiji, arheologiji, geologiji, rudarstvu, meteorologiji, itd [3]. Razvojem prijenosnih varijanti terestričnih laserskih skenera pristupa nijoj cijeni i sve većoj preciznosti, u posljednje vrijeme pronalaze svoju upotrebu i u praćenju napredovanja erozije kosina koje nisu bile dostupne iz zračnih snimaka [4-6]. Na slici 3. prikazan je prijenosni terestrični laserski skener ILRIS-3D-ER korizten u ovom radu, kao i primjer rezultata usporedbe dvaju snimaka zasječka sa slike 1.b s vremenskim odmakom od jedne godine. Upotrebom ovih tehnologija može se pristupiti analizama trajnosti, ne samo kroz klasične laboratorijske tehnike, već i sin-situ konkretnim primjerima pritom vrednujući stvarne promjene.



(a)

(b)

Slika 3.a) Terestrični laserski skener ILRIS-3D-ER; b) Usporedba dvaju snimaka zasječka s vremenskim odmakom od jedne godine



2. RASTROŠBA I EROZIJA

Pod pojmom rastrozba (eng. weathering%trozenje, razgradnja, dezintegracija) naj ez e se podrazumijeva promjena fizikalno mehani kih svojstava stijene kao posljedice ljužtenja, hidratacije, slabljenja kod suzenja i vla0enja (sslaking%), bubrenja, otapanja, oksidacije, abrazije, smrzavanja-odmrzavanja, te drugih procesa [7]. Franklin i Dusseault [8] koriste termin weatherability%kao mjeru podlo0nosti stijene oslabljenju ili raspadanju za vrijeme koriztenja objekta. Pri tome je klju no razlikovati:

- sin0enjersku vremensku skalu%(nekoliko godina do nekoliko desetaka godina),
- sgeologzku vremensku skalu%(stotine tisu a do nekoliko milijuna godina).

Kod mekih stijena proces rastrozbe se odvija u vrlo kratkom vremenskom razdoblju te se moe govoriti o trajnosti materijala unutar sin0enjerske vremenske skale%o. vrijeme koriztenja gra evine [7].

Prema Fookesu [8a] rastrozba se op enito dijeli u dvije dominantne grupe: fizi ku (mehani ku) rastrozbu i kemijska rastrozbu.

Fizi ka rastrozba podrazumijeva razaranje stijene u manje komade bez promjene mineralozkog sastava, dok kemijska rastrozba rezultira razlaganjem strukture minerala, odnozenjem nekih od oslobo enih elemenata i/ili stvaranjem novih elemenata od ostataka koji reagiraju sa sastojcima iz okoline. U praksi se esto definira i biolozka rastrozba, me utim budu i biolozki procesi mogu uzrokovati i fizi ke i kemijske promjene, naj ez e se u literaturi svrstava kao podgrupa fizi kog i kemijskog trozenja [9].

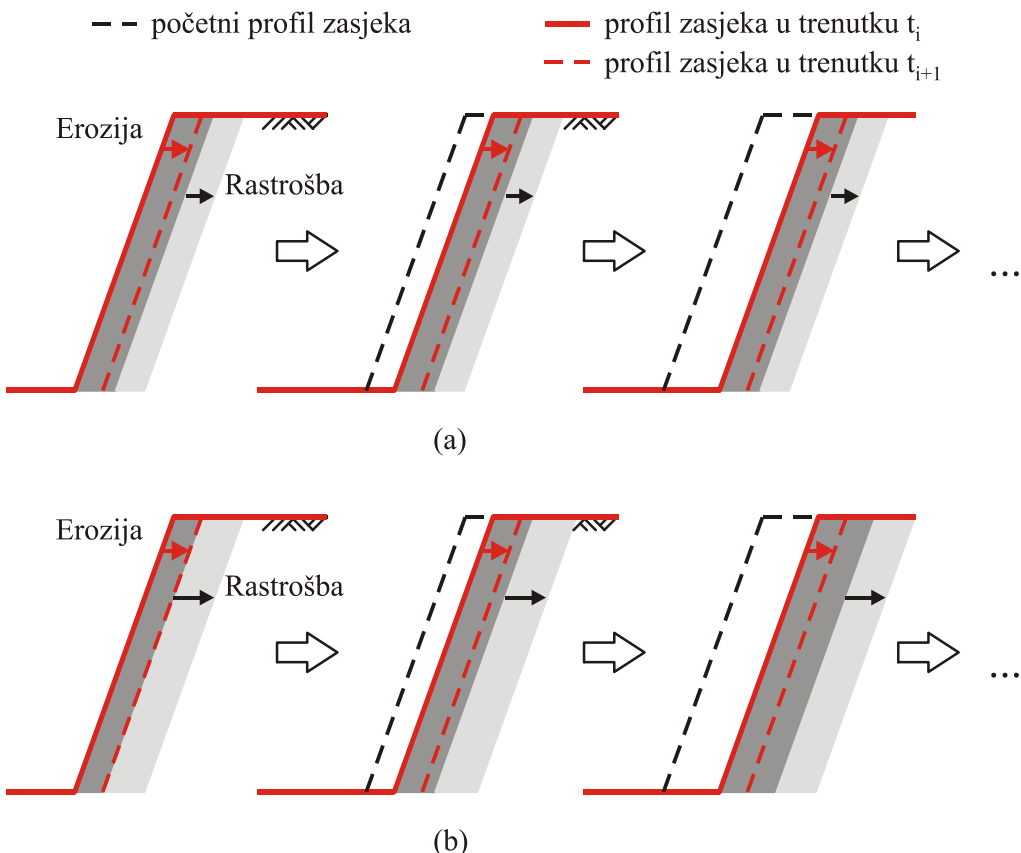
Dominantni proces koji uzrokuje raspadanje lapora (razaranje struktturnih veza unutar materijala) na podru ju Dalmacije je ponavljanji proces suzenja i vla0enja, kao glavni uzrok fizi ke rastrozbe, kombiniran sa kemijskom rastrozicom na povrini materijala i zidovima pukotina, tj. svim povrzinama koje su u izravnom dodiru s vodom. Iako se formalno razdvajaju, oba procesa se u pravilu doga aju istovremeno i me usobno se nadopunjaju. Nastajanje pukotina procesima fizi ke rastrozbe pove ava se povrina na kojoj se mogu razvijati kemijski procesi. S druge strane kemijska rastrozba zamjenjuje vrste minerale sa slabim glinama ili porama, pri emu ine materijal podlo0njim fizi koj rastrozbi.

Da bi se uistinu razumio pojam rastrozbe, potrebno je joz odrediti i pojam erozije, budu i se ta dva pojma esto mijezazu. Razlika izme u rastrozbe i erozije je suptilna, stoga ju je najjednostavnije opisati na sljede i na in: *rastrošba je proces raspadanja stijene, dok je erozija proces odnošenja usitnjenih komada stijene, s mjesta gdje su nastali na mjesto gdje se nakupljaju.*[2] Naravno, rastrozba i erozija se mogu odvijati i istovremeno, stoga se esto pojmovno mijezazu ili ih se pogreznno smatra istozna nicama.

Iako se eroziju naj ez e povezuje s oslabljenim i rastrozenim tlom ili stijenom, ona djeluje i na vrstim nerastrozenim povrzinama tla, naravno s manjim intenzitetom. Uspore uju i intenzitet djelovanja erozije i rastrozbe na zasjeku u stijenskoj masi mogu e je primijetiti tri osnovna odnosa navedenih procesa:

- Neravnote0a odnosa u korist erozije.
- Ravnote0a izme u erozije i rastrozbe.
- Neravnote0a odnosa u korist rastrozbe.

Na slici 4. prikazan je slu aj ravnote0e erozije i rastrozbe, koji osigurava ravnomjeran vremenski tok promjene profila zasjeke.



Slika 4. Primjer razgradnje zasjeke za slu0aje: a) ravnote0e erozije i rastrozbe; b) neravnote0e u korist rastrozbe (svijetlo sivo - rastroseni materijal, tamno sivo - ostatak iz prethodnog intervala).[10]

S obzirom na tip materijala i klimatske zna0ajke podru0aja istra0ivanja razumno je pretpostaviti da u podru0aju Dalmacije odnos procesa varira u rasponu od ravnote0e erozije i rastrozbe do neravnote0e u korist rastrozbe, tj. da se erozija uvijek odvija na rastrosenom materijalu koji se injava zasjek.

3. METODOLOGIJA

3.1. Teresti0ko lasersko skeniranje - TLS

Teresti0ko lasersko skeniranje je naziv za geodetsko mjerjenje kojim se mogu pribaviti zna0ajne kolonine podataka (koordinata toaka), za razliku od klasi0nih geodetskih metoda (npr. upotreba totalne stanice). Osim termina teresti0ko lasersko skeniranje - TLS (eng. sTerrestrial Laser Scanning%) u upotrebi je esto i pojam LiDAR (eng. Light Detection and Ranging) koji se obično povezuje uz pribavljanje podataka iz zraka (npr. spomo u aviona kao platforme%) ili definiciju same tehnologije pribavljanja podataka. U ovom radu korizten je Optech-ov TLS ILRIS-3D-ER (sOptech Intelligent Laser Ranging and Imaging System with Enhanced Range%).

Laserskim skeniranjem se dobiva velika koli0ina neobra0enih podataka koja se naziva oblak toaka (Slika 5.). Kad su kontrolne toake georeferencirane u poznatom koordinatnom sustavu, tad se itavi oblak toaka mo0e orientirati u istom sustavu. To ke mogu biti



dodatno odreene i bojom, tj. mogu se definirati i RGB komponentnom, u sluaju kada skeneri imaju u sebi integriranu i kalibriranu digitalnu kameru [11].



Slika 5. Primjer oblaka točaka s približno 4 milijuna točaka (Pilot lokacija sčitanjan 1%)

Primjena TLS-a u ovom radu je isključivo s aspekta korisnika, vize o osnovnim principima mjerjenja, tehnologiji i performansama instrumenata itatelj se upućuje na dodatnu literaturu [12 i 13].

3.2. Usporedba oblaka točaka iz različitih epoha

Promjena morfologije zasjeke vrzi se usporedbom oblaka točaka iz različitih epoha upotrebom sljedeće metodologije [14, 15]:

- Pribavljanje referentnog oblaka točaka (izvrziti preklapanja u sluaju vize stajalizta, početno uraditi i georeferenciranje zbog izravnog prostornog orientiranja elemenata zasjeke).
- Kreiranje TIN (eng. "Triangle Irregular Network") modela povrzine zasjeke - referentne plohe (P_0).
- Pribavljanje novih oblaka točaka nakon određenog perioda (OT_1, OT_2, \dots, OT_n)
- Priprema za usporedbu (eng. "alignment") između epoha mjerjenja.
- Usporedba pribavljenih podataka s referentnom plohom P_0 .
- Izračun razlika za svaku usporedbu različitih epoha mjerjenja.
- Izrada poprečnih presjeka ili ploha usporedbe.

Pripremom za usporedbu između epoha mjerjenja (to ka 4) definira se matrica poravnanja novog oblaka točaka s referentnom plohom. U ovom radu matrice poravnanja definirane su upotrebom nepomičnih objekata u okolini (zgrade u blizini zasjeke ili geološki



lanovi koji nisu podlo0ni rastrozbi u in0enjerskom periodu vremena), u sljede a etiri koraka:

- Identifikacija nepomi nog dijela zasjeke ili objekta u okolini zasjeke.
- Brisanje dijela na kojem se odvija promjena (erozija i deponiranje) te svih suviznih mjerena (vegetacija, pokretni objekti i sl.).
- Poravnanje fiksнog dijela upotrebom ICP(eng. "Iterative Closest Point") algoritma, ime se definira matrica poravnjanja.
- Upotreba matrice poravnjanja na izvornom oblaku to aka.

Podaci prikupljeni TLS-om mogu se analizirati za cijelu plohu zasjeke ime se dobije trodimenzionalni uvid u ponazanje procesa erozije. Dodatnom identifikacijom lanova zasjeke putem fotografije i/ili intenziteta, postavlja se podloga za daljnju analizu drugih fenomena, kao zto su: odronjavanja, klizanja, prevrtanja i sl. Osim toga, nije potrebna ugradnja kontrolnih to aka kao kod totalnih stanica te je koli ina i rezolucija mjereneh podataka neusporediva.

Udaljenost svake to ke izme u P_0 i OT_i izra unata je upotrebom metodologije usporedbe podataka s referentnom plohom%(eng. sdata vs. reference comparison%, Polyworks v12), pri emu je smjer usporedbe odre en smjerom vektora okomice na referentnu plohu P_0 . Za samu usporedbu podataka nije nu0no izvrziti georeferenciranje te se u tom slu aju ishodizte postavlja u sredizte TLS-a ($O=0,0,0$). Udaljenosti to aka D_i izra una se prema [16]:

$$D_i = \text{Udaljenost}[OT_i, O] - \text{Udaljenost}[P_0, O]$$

D_i je udaljenost koja se pripisuje odvajanju/nakupljanju materijala na pokosu ili deformaciji dijela pokosa u vidu odrona. Pri tome se manji dio svakako odnosi i na pogrezke mjerena odnosno metodologije usporedbe [17].

3.3. Fisher–Lehmannov matematički model erozije uspravnog zasjeke

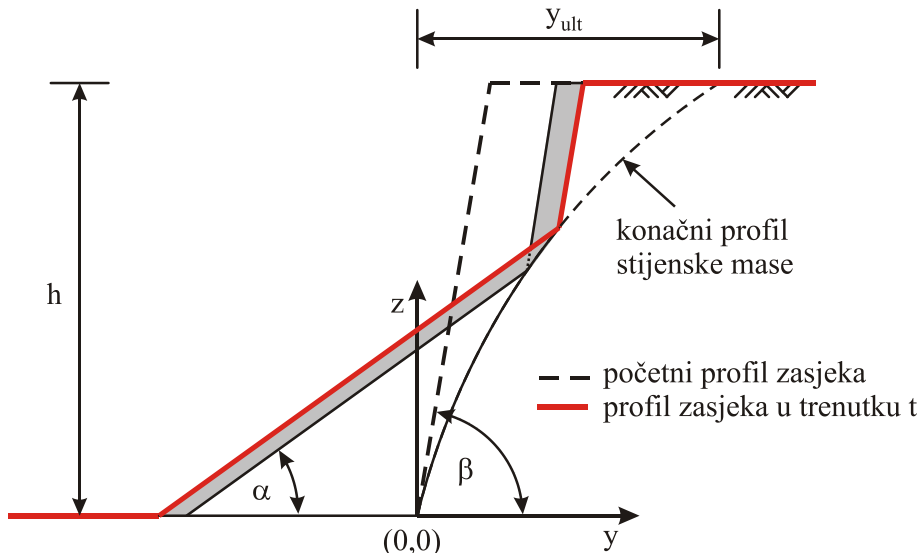
Ovaj model je kombinacija Fisherovog [18] matemati kog opisa degradacije napuztenog, inicijalno vertikalnog (uspravnog), zasjeke u naslagama krede bez nakupljanja erodiranog materijala u podno0ju zasjeke, te Lehmannovog generaliziranog modela [19] koji uvodi mogu nost po etnog nagiba pokosa i nakupljanje erodiranog materijala u podno0ju zasjeke. Osnovne pretpostavke ovog modela (Slika 6.) su:

- Kosina je homogena, pokos je ravan, nagiba β , koji je dovoljno strm da omogu ava transport rastrozenog materijala.
- Teren u podno0ju i iza pokosa je vodoravan i prote0e se dovoljno daleko.
- U podno0ju pokosa nema staja e vode.
- U svakom vremenskom koraku proizvodi rastrozbe se ravnomjerno erodiraju sa slobodnog lica pokosa. Ve i odroni i odvajanja po diskontinutetima nisu razmotrena.
- Proizvodi rastrozbe se nakupljaju u podno0ju u obliku sipara konstantnog nagiba α ($\alpha < \beta$)
- Ispod akumuliranog sipara stijena je zazti ena od daljne rastrozbe. Istovremeno u dijelu slobodnog lica pokosa stijena se nastavlja troziti i erodirati.



Iz navedenog slijedi da se u kona nici oblikuje konveksna granica izme u nastalog sipara i intaktne stijenske mase.

- U kona nici zasjeke nagiba β se preoblikovao u kosinu nagiba α koja tangira konveksnu jezgru intaktne stijenske mase.



Slika 6. Fisher. Lehmannov model erozije uspravnog zasjeke

Uz prethodno navedene pretpostavke, izraz za određivanje konveksne jezgre intaktne stijenske mase poprima sljedeći oblik [20]:

$$y = k \cdot (l + m) \cdot \ln \left[\frac{m}{(m - z)} \right] - k \cdot z \quad (1)$$

gdje su: $m = h/c$; $k = (a - ac - b)/c$; $l = b \cdot h/(a - ac - b)$; $a = ctg\alpha$; $b = ctg\beta$; te h - visina zasjeke, α - nagib stabilnog pokosa sipara i β - poletni nagib zasjeke, određeni na slici 6. Parametar c je konstanta potrebna za egzaktnu derivaciju [21], koja u suztini predstavlja mjeru stalne rastresitosti rastrozenog materijala:

$$\frac{\text{zapremina stijene}}{\text{zapremina sipara}} = \frac{1-c}{1} \quad (2)$$

Za potrebe projektiranja, uz ukupno potrebno vrijeme za postizanje istog, zanimljiv je podatak o kona nom obliku zasjeke, kako položaja vrha pokosa tako i nootice sipara. Kona ni položaj vrha pokosa može se odrediti uvrztavanjem $z=h$ u izraz (1) koji tada poprima sljedeći oblik:

$$y_{ult} = (ctg\alpha - ctg\beta) \cdot (1-c) \cdot \frac{h}{c} \cdot \left[\frac{1}{c} \cdot \ln(1-c)^{-1} - 1 \right] + h \cdot ctg\beta \quad (3)$$

Odnosno, za pomak nootice sipara koji se može odrediti pomoću izraza:

$$y_s = h \cdot ctg\alpha - y_{ult} \quad (4)$$

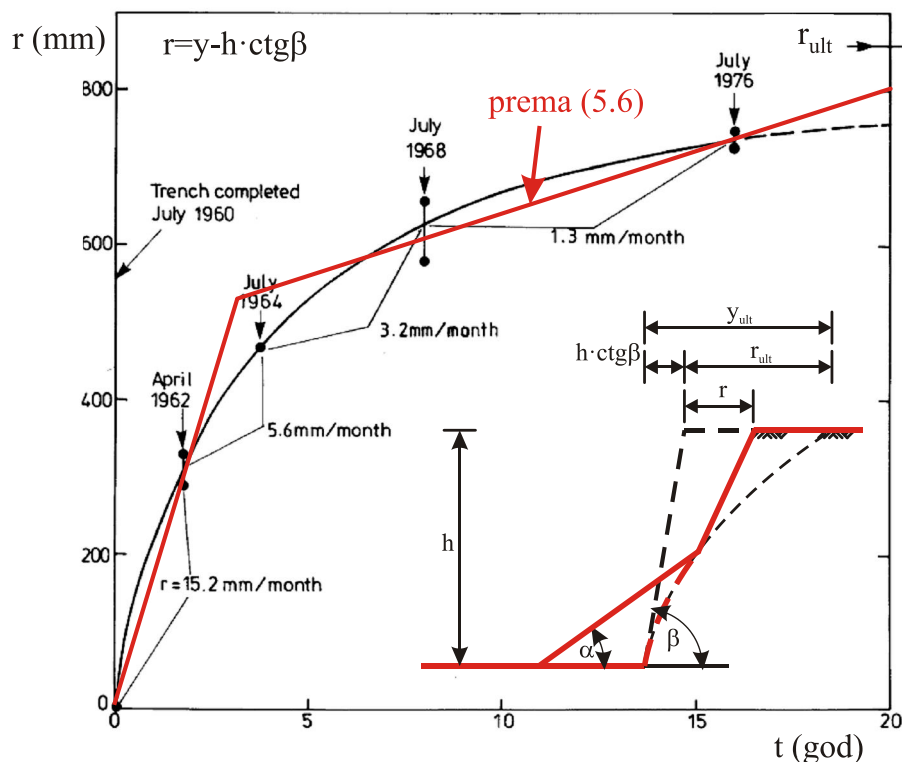
Uvidom u izraz (3) može se primjetiti da, osim poletne geometrije zasjeke, utjecaj na oblikovanje kona ne geometrije zasjeke ima i nepoznati parametar rastresitosti rastrozenog materijala, za koje određivanje se između ostalog provesti terensko opažanje.



Promjena oblika zasjeke u vremenu može se opisati uvo enjem sljede e funkcije:

$$y(t) = \begin{cases} h \cdot \operatorname{ctg}\beta & \text{za } t = 0 \\ h \cdot \operatorname{ctg}\beta + R_{y,s} & \text{ako je } 0 < t < (y_{ult} - h \cdot \operatorname{ctg}\beta)/R_{y,s} \\ y_{ult} & \text{ako je } t \geq t_{ult} = (y_{ult} - h \cdot \operatorname{ctg}\beta)/R_{y,s} \end{cases} \quad (5)$$

gdje je $R_{y,s}$ prosje na godiznja erozija. Prema Hutchinsonu [20] erozija zasjeke nije nuono linearan proces u vremenu. On je na primjeru zasjeke u kredi visine 1,75 m, na temelju povremenih opa0anja u periodu od 15 godina, zaklju io da je proces nelinearan (Slika 7.).



Slika 7.Godiznja erozija zasjeke sOverton Down%JK (izmjenjeno prema [20])

Prema zapa0anjima autora, na terenu je mogu e primjetiti vrlo brzi po etni razvoj erozije zasjeke (Slika 8.), me utim njega se jednako tako može pripisati po etnom rastere enju stijenske mase i lokalnim nestabilnostima koje ovise od uslojenosti i kakvo i izvedbe zasjeke.



(a)

(b)

Slika 8. Primjer brze po etne izmjene profila na zasjeku izvedenom za potrebe privremene prometnice, lokacija Brnik, Split: a) neposredno nakon iskopa (srpanj 2013.); b) stanje nakon 7 mjeseci (velja a 2014.)

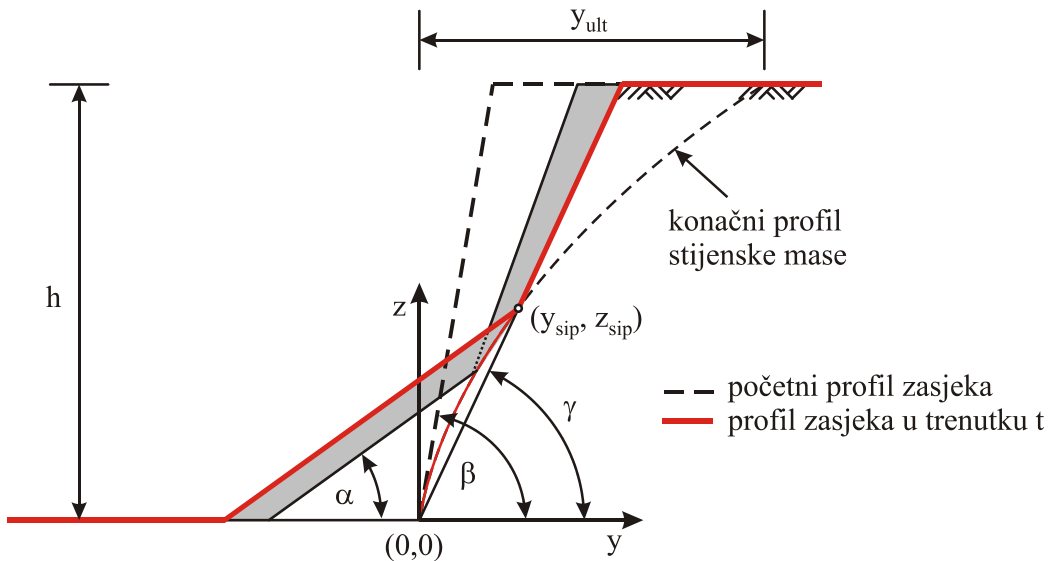
Uzimaju i u obzir prethodno zapa0anje, umjesto parametra $R_{y,s}$ se može uvesti bilo koja nelinearna funkcija $R_{y,s}=R_{y,s}(t)$ ili se linearни kriterij opisan izrazom (5) može zamijeniti bi-linearnim kriterijem:

$$y(t) = \begin{cases} h \cdot \operatorname{ctg}\beta & \text{za } t = 0 \\ h \cdot \operatorname{ctg}\beta + n \cdot R_{y,s} & \text{ako je } 0 < t < t_1 \\ h \cdot \operatorname{ctg}\beta + R_{y,s} & \text{ako je } t_1 < t < (y_{ult} - h \cdot \operatorname{ctg}\beta)/R_{y,s} \\ y_{ult} & \text{ako je } t \geq t_{ult} = (y_{ult} - h \cdot \operatorname{ctg}\beta)/R_{y,s} \end{cases} \quad (6)$$

gdje su: n - koeficijent utjecaja po etne relaksacije zasjeke; t_1 - vrijeme unutar kojeg se manifestiraju u inci po etne relaksacije zasjeke. Npr. na Hutchinsonovom modelu (Slika 7.) navedeni parametri bi iznosili $n \approx 10$ i $t_1 \approx 3$ godine, ali bi i t_{ult} bilo podcijenjeno cca 5 godina (cca 15%).

3.4. Bakker–Le Heuxov modelerozije uspravnog zasjeke

Osnovne prepostavke ovog modela Bakker–Le Heuxovog modela [21] podudaraju se s Fisher–Lehmannovim modelom, osim u etvrtoj točki koja određuje način erozije slobodnog lica pokosa. Ovim modelom prepostavlja se neravnomjerno trozenje lica pokosa (Slika 9.), prema kojem se fronta trozenja materijala rotira oko noćice zasjeke.



Slika 9. Bakker. Le Heuxov model erozije uspravnog zasječka

Uz prethodno usvojene pretpostavke, izraz za određivanje konveksne jezgre intaktne stijenske mase poprima sljedeći oblik [20]:

$$y = a \cdot z - (a - b) \cdot z \cdot \left[\frac{(h^2 + (1-2c) \cdot z^2)}{h^2} \right]^{\frac{c-1}{1-2c}} \quad (7)$$

gdje su: $a = ctg\alpha$; $b = ctg\beta$; te h - visina zasječka, α - nagib stabilnog pokosa sipara i β - početni nagib zasječka, određeni na slici 9. Parametar c je definiran izrazom (2).

Konačni položaj vrha pokosa može se odrediti uvrztavanjem $z=h$ u izraz (7) koji tada poprima sljedeći oblik:

$$y_{ult} = (ctg\alpha - ctg\beta) \cdot h \cdot \left[1 - (2-2c)^{(c-1)/(1-2c)} \right] + h \cdot ctg\beta \quad (8)$$

Odnosno, za pomak nosnice sipara koji možemo definirati putem izraza:

$$y_s = h \cdot ctg\alpha - y_{ult} \quad (9)$$

Promjena oblika zasječka u vremenu može se opisati uvođenjem sljedeće funkcije:

$$\gamma(t) = \begin{cases} \beta & \text{za } t = 0 \\ \beta - R_{\gamma,s} \cdot t & \text{ako je } 0 < t < (\beta - \alpha)/R_{\gamma,s} \\ \alpha & \text{ako je } t \geq t_{ult} = (\beta - \alpha)/R_{\gamma,s} \end{cases} \quad (10)$$

gdje su: γ - nagib slobodnog lica zasječka; $R_{\gamma,s}$ - prosječna godišnja promjena nagiba zasječka uslijed erozije slobodnog lica zasječka. Uvođenjem vremenske ovisnosti γ , moguće je odrediti izraze za položaj vrha sipara u danom trenutku [10 i 22]:



$$\begin{pmatrix} y_{sip} \\ z_{sip} \end{pmatrix} = \begin{pmatrix} \frac{z_{sip}}{\operatorname{tg}(\gamma(t))} \\ h \cdot \sqrt{\frac{1}{1-2c} \cdot \left(e^{\frac{1-2c}{c-1} \ln \left(\frac{a \cdot \operatorname{tg}(\gamma(t))-1}{(a-b) \cdot \operatorname{tg}(\gamma(t))} \right)} - 1 \right)} \end{pmatrix} \quad (11)$$

Odnosno oblik profila:

$$y(t) = \begin{cases} y_{sip} - a \cdot (z_{sip} - z) & \text{za } 0 \leq z \leq z_{sip} \\ z \cdot \operatorname{ctg}(\gamma(t)) & \text{za } z_{sip} \leq z \leq h \end{cases} \quad (12)$$

Pri tome oblik intaktne stijenske mase ispod sipara i dalje je određen prema izrazu (7).

4. REZULTATI

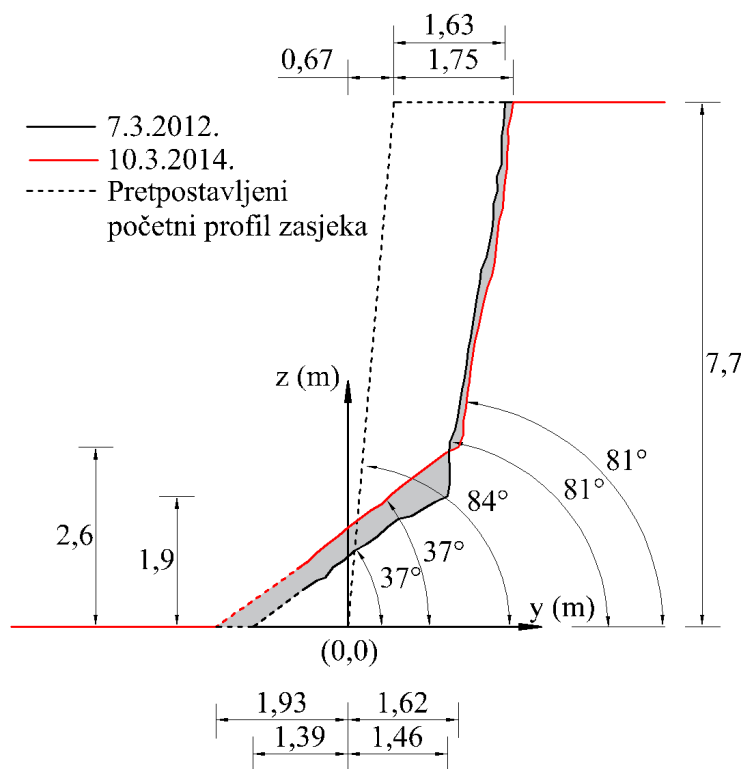
U nastavku su za odabrane epohe mjerena prikazani rezultati usporedbe oblaka toaka za jednu odabranu pilot lokaciju (Pilot lokacija "žnjan 1"). Usporedbi su prikazane trodimenzionalno putem razlika prikazanih na licu zasjeke ili dvodimenzionalno putem odabranih reprezentativnih poprenih presjeka.

U trodimenzionalnom prikazu udaljenosti su prikazane putem polja vrijednosti. Negativne vrijednosti ukazuju na nedostatak materijala u određenoj epohi (eroziju), odnosno odvajanje ili odron većih fragmenata stijene. Pozitivne vrijednosti ukazuju na akumuliranje erodiranog materijala u vidu sipara u podnožju zasjeke, većih blokova uslijed odranjanja ili rasta vegetacije. Pozitivni pomak prema instrumentu, ukoliko se nalazi na slobodnom licu zasjeke, može ukazivati i na pomak stijene koji prethodi odronu.

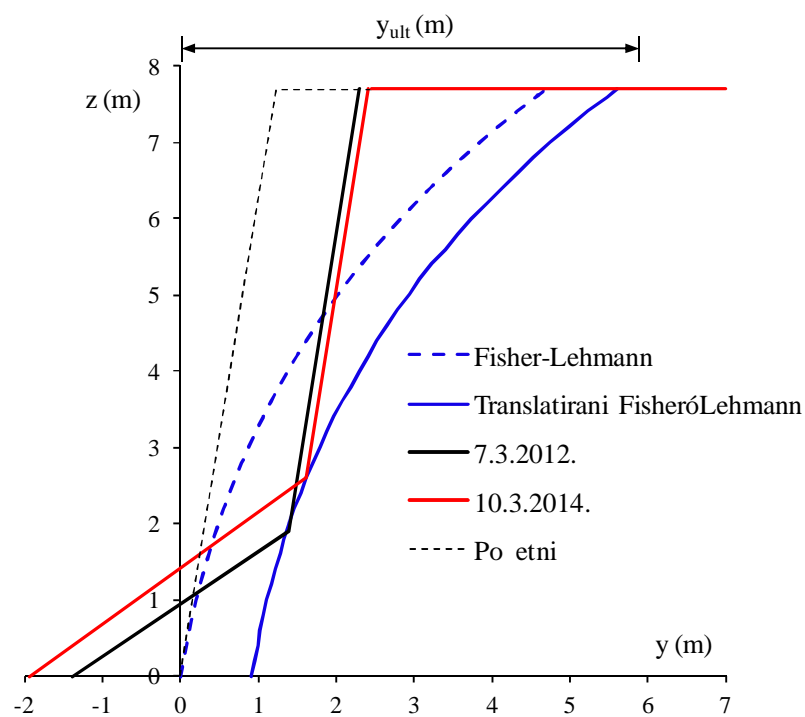
Na slici 10. prikazani su popreni presjeci kao rezultat opa0anja za period od 2 godine (7.3.2012. - 10.3.2014.), dok je na slici 11. prikazan rezultat numeričkog proračuna baziranog na Fisher-Lehmannovom modelu erozije zasjeke.



Opa0anje i modeliranje erozije zasjeke u mekoj stijeni



Slika 10. Interpretacija Fisher. Lehmannovog modela na temelju rezultata opa0anja izvrzenih na Pilot lokaciji s̊njan 1% Karakteristi ni popre ni presjek za epohe OT_0 i OT_4 (7.3.2012. i 10.3.2014.).



Slika 11. Interpretacija Fisher. Lehmannovog modela na temelju rezultata opa0anja izvrzenih na Pilot lokaciji s̊njan 1% Fisher. Lehmannov model na temelju epoha OT_0 i OT_4 .



Naime, terenskim opa0anjem na ovom te na nekim od sljede ih primjera uo eno je da, nakon po etne relaksacije zasjeke (Slika 8.), Fisher-Lehmannov model bolje opisuje promjenu profila zasjeke u vremenu u mekim stijenama koje se javljaju samostalno ili u fiznom slijedu na podru ju Dalmacije.

Parametri korizteni u prora unu prikazani su u tablici 1. Kutevi pokosa i visina zasjeke odre eni su upotrebom rezultata TLS-a na reprezentativnom popre nom presjeku.

Tablica 1. Parametri korizteni za prora un Fisher-Lehmannovim modelom

Parametar	Simbol	Iznos	Mjerna jedinica
Nagib sipara	α	37	(°)
Nagib pokosa	β	81	(°)
Visina zasjeke	h	7,7	(m)
$1 - \frac{\text{zapremina stijene}}{\text{zapremina sipara}}$	c	0,4	(-)
Prosje na godiznja erozija	$R_{y,s}$	5,0	(cm/god)

Rezultati prora una prikazani su u tablici 2.

Tablica 2. Rezultati prora una prema Fisher-Lehmannu i Bakker. Le Heuxu za šnjan 1%

Parametar	Simbol	Iznos		Mjerna jedinica
		prema F.-L.	prema B.-Le H.	
Polo0aj vrha pokosa	y_{ult}	4,96	5,01	(m)
Pomak no0ice sipara	y_s	5,26	5,21	(m)
Kona na zirina pokosa	$y_s + y_{ult}$	10,22	10,22	(m)
Potrebno vrijeme za dovrzetak erozije - od trenutnog stanja	$t_{ult} - t$	58	-	(god)
Ukupno potrebno vrijeme za dovrzetak erozije	t_{ult}	93	-	(god)

Izrazom (1) definirana linija konveksne jezgre intaktne stijenske mase, translatirana je za 0,9 m u unutranjost zasjeke (Slika 11.). Razlog translacije le0i u uklanjanju deponiranog materijala u nekoliko navrata tokom koriztenja platoa za potrebe obli0njeg gradilizta.

Zanimljivo je primijetiti, upotrebom povratne analize, da je proteklo vrijeme od zasijecanja iznosilo $\Delta t=35$ godina, zto ne odgovara zabilje0enom vremenu proteklom od zasijecanja ($\Delta t_{stv}=12$ god; 2002. - 2014.), koje je zbog uklanjanja deponiranog materijala realno i joz kra e. S druge strane, navedeno zapa0anje u potpunosti odgovara Hutchinsonovom opa0anju [20] (Slika 7.) te se upotrebom prema autoru predlo0enog bilinearnog kriterija i na ovoj pilot lokaciji dobivaju i rezultati. Za $n=10$ i $t_1=3$



godine, Δt iznosi osam godina, zato s obzirom na po etno uklanjanje deponiranog materijala odgovara provedenom opa0anju.

U tablici 3. prikazani su prosje ni opa0eni iznosi erozije za srediznji dio promatranog zasjeke, iskazani prema epohama opa0anja. Mogu e je primjetiti trend porasta iznosa erodiranog materijala, uz kolebanje izme u „zimskog% „ljetnog% zestomjese nog razdoblja. Budu i je zasiek zapadne orijentacije, na mikrolokaciji koja je zazti ena od vjetra dominantnih smjerova (bura i jugo), za pretpostaviti da dominantni utjecaj u ovom slu aju ima koli ina i u estalost oborina. Uistinu, uvidom u dokumentaciju DHMZ-a mogu e je zapaziti trend pove anja oborina za podru je Splita (mjerna postaja Marjan) u razdoblju opa0anja TLS-om. Tako je u ljetu 2012. (po etak opa0anja) zabilje0eno dugo suzno razdoblje (bez zabilje0enih oborina), dok je u ljetu 2014. (dovrzetak opa0anja) zabilje0eno kao vrlo kizno (s dvostruko ve im iznosom oborina od prosje ne, >300 mm).

Tablica 3.Prosje ni iznosi erodiranog sloja u karakteristi nom popre nom presjeku na pilot lokaciji sžnjan 1%

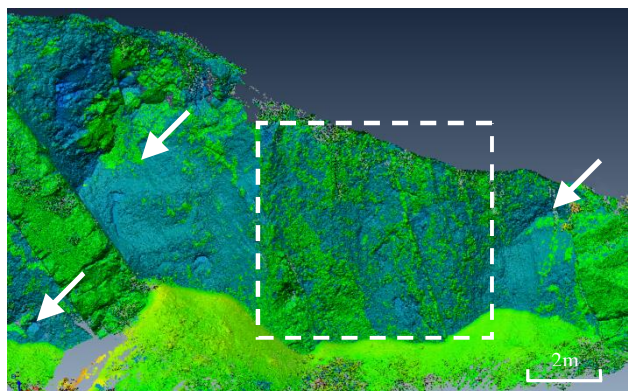
Period opa0anja	7.3.2012. - 28.9.2012.	28.9.2012. - 21.3.2013.	21.3.2013. - 27.9.2013.	27.9.2013. - 10.3.2014.	10.3.2014. - 3.10.2014.	3.10.2014. - 31.3.2015.
Iznos erodiranog sloja u promatranom periodu (cm)	2,3	1,9	2,6	2,4	2,8	2,7
Godiznja erozija R_y (cm/god)	4,2		5,0		5,5	

Na slici 12. prikazana je promjena morfologije zasjeke za vrijeme opa0anja 7.3.2012. - 3.10.2014., budu i je glavna prednost TLS-a u prikupljanju velikog broja prostornih podataka. Zone odranjanja po sekundarnim pukotinama ozna ene strelicama na slici 12., dok je podru je koje je isklju ivo pod utjecajem erozije ozna eno isprekidanim linijom.

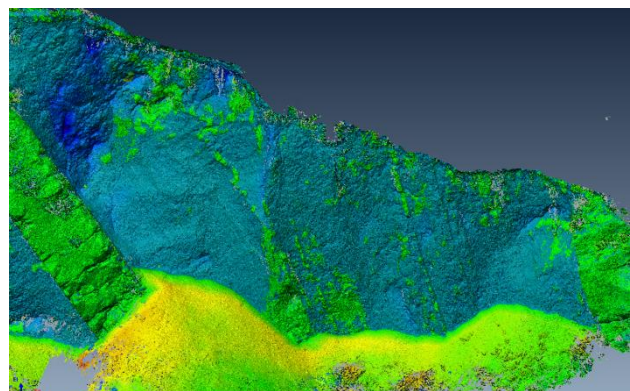
Promjena je prikazana u rasponu vrijednosti od -1,0 do 1,0 m, stoga zbog skale na kojoj je prikazana u srediznjem dijelu zasjeke nije mogu e razlu iti promjenu nakon druge epohe opa0anja (Slika 12.b). Na slici 13. srediznje podru je zasjeke prikazano na uve anoj skali (-0,4 do 0 m).



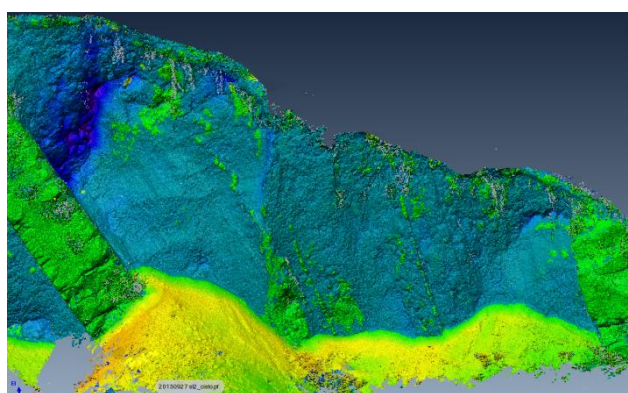
Opoštanje i modeliranje erozije zasjeka u mekoj stijeni



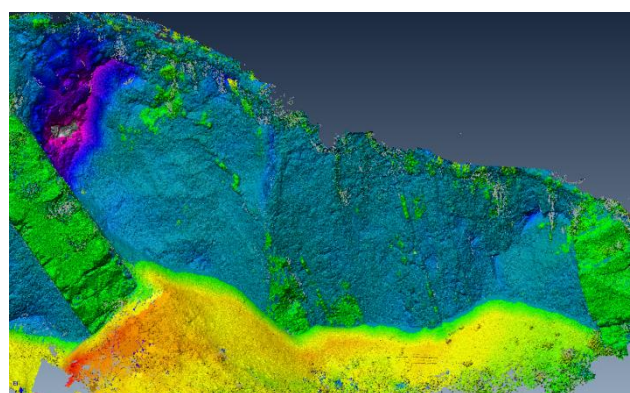
(a) Usporedba 7.3.2012. - 28.9.2012.



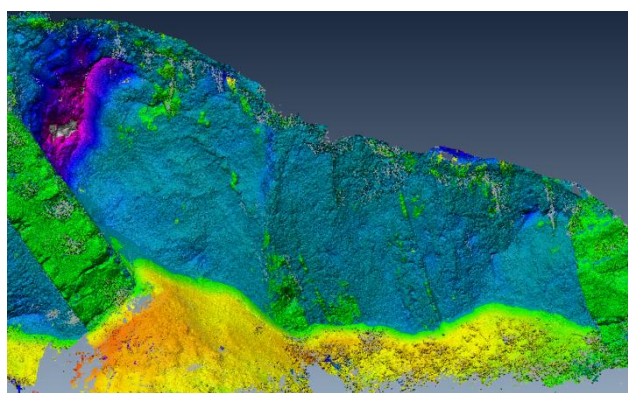
(b) Usporedba 7.3.2012. - 21.3.2013.



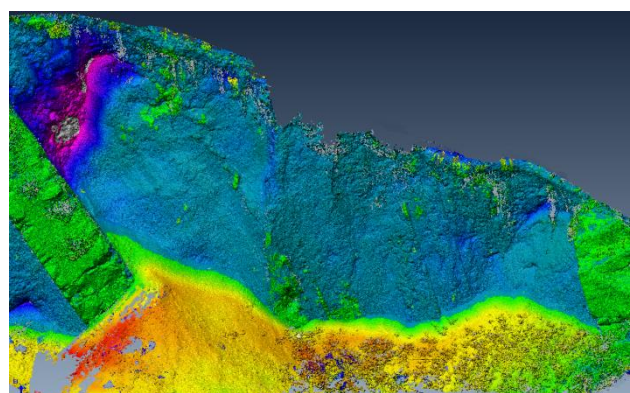
(c) Usporedba 7.3.2012. - 27.9.2013.



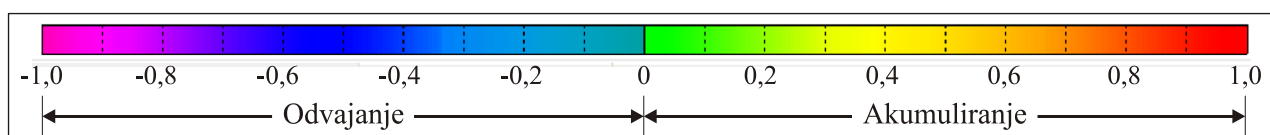
(d) Usporedba 7.3.2012. - 10.3.2014.



(e) Usporedba 7.3.2012. - 23.6.2014.



(f) Usporedba 7.3.2012. - 3.10.2014.

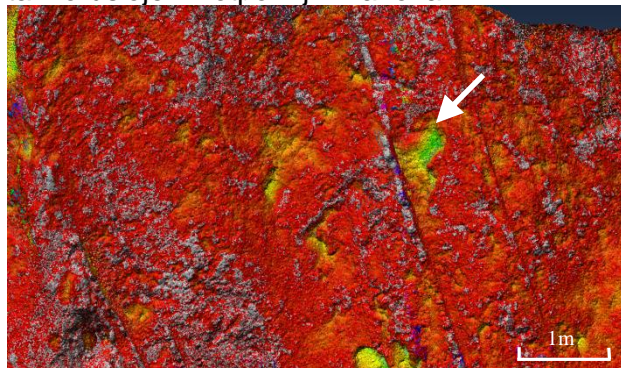


Slika 12. Usporedba oblaka točaka na pilot lokaciji ščnjana 1% za navedene epohe mjerjenja (a - f) s referentnom plohom

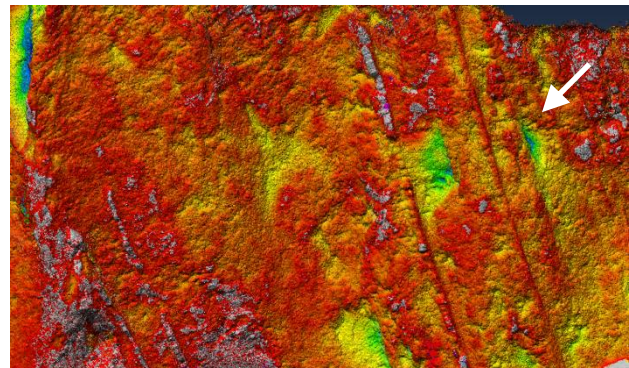


Na slikama 13.a-f, u podru jima ozna enim strelicama, mogu e je primijetiti da erozija povrzine nije jednolika, iako bi se to moglo pretpostaviti isklju ivo vizualnim opa0anjem.

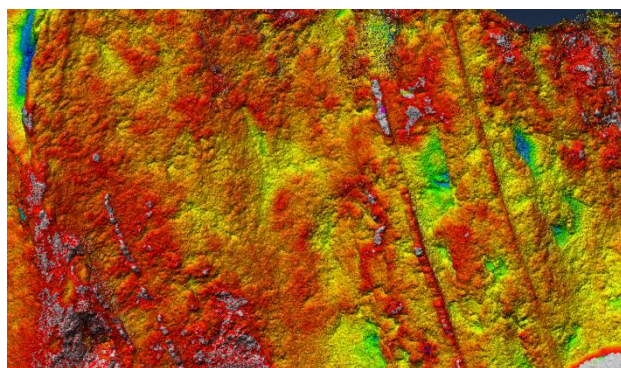
Prema tome se mo0e pretpostaviti da na eroziju zasjeke u fliznom slijedu zna ajno utje e metodologija izvedbe zasjeke, podlo0nost materijala fragmentaciji (prema tipu trajnosti materijala iskazanih laboratorijskim testovima), prisutnost sekundarnih pukotina te pojavnost tanko-uslojenih otpornijih lanova.



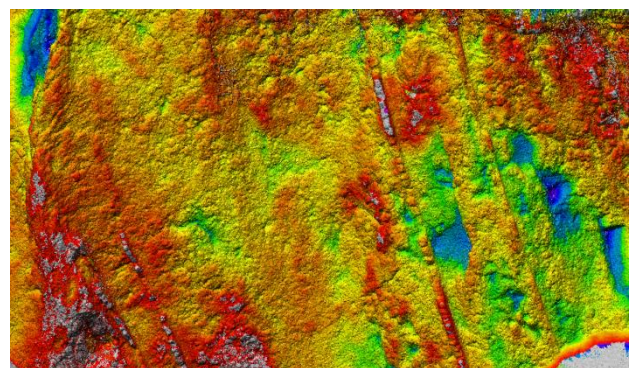
(a) Usporedba 7.3.2012. - 28.9.2012.



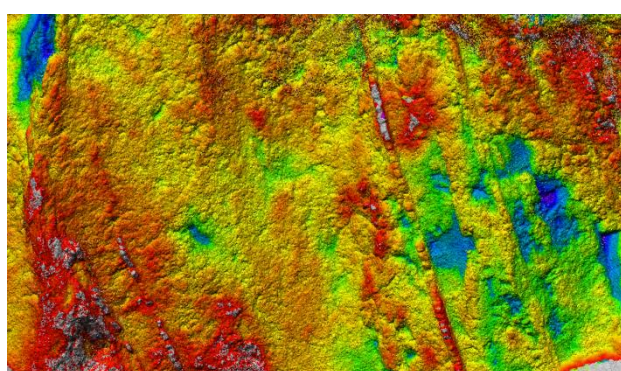
(b) Usporedba 7.3.2012. - 21.3.2013.



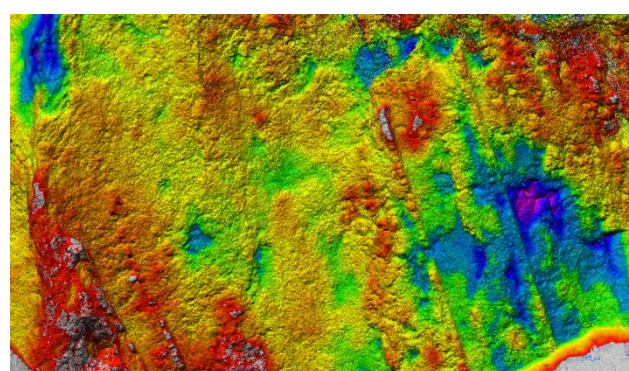
(c) Usporedba 7.3.2012. - 27.9.2013.



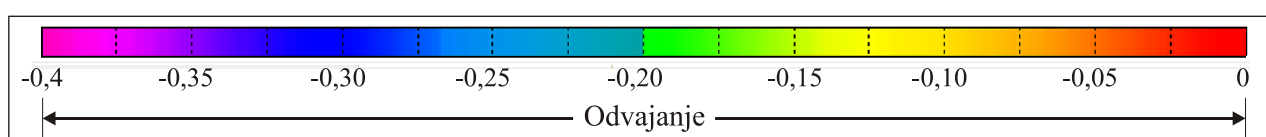
(d) Usporedba 7.3.2012. - 10.3.2014.



(e) Usporedba 7.3.2012. - 23.6.2014.



(f) Usporedba 7.3.2012. - 3.10.2014.



Slika 13. Usporedba oblaka to aka za srediznji dio zasjeke na pilot lokaciji s̄njan 1%za navedene epohe mjerena (a - f) s referentnom plohom



5. DISKUSIJA I ZAKLJUČCI

Opa0anje zasjeke u mekim stijenama upotrebom TLS-a osnova je za razumijevanje procesa erozije u ovom tipu stijena. Iako je dostupna du0e vrijeme, zbog relativno visoke nabavne cijene ovaj ure aja joz uvijek ne nalazi ziroku primjenu u geologiji i srodnim disciplinama. Prema dostupnoj literaturi nema zabilje0enih sli nih studija u ovom tipu materijala, osim nekoliko primjera opa0anja erozije obalnog pojasa [4, 6, 15], koji su atraktivniji zbog skale problema, utjecaja djelovanja valova i morskih struja te generalno br0eg odvijanja procesa.

Koli inu erodiranog i odlo0enog materijala na zasjecima i strmim pokosima dosad nije bilo mogu e jednostavno niti precizno odrediti. Upotrebom TLS-a omogu ena je naknadna detaljna analiza opa0anih zasjeke te odabiranje jednog ili vize reprezentativnih profila za geotehni ku analizu. Na temelju izvrzenih opa0anja, provjerena dva naju estalija matemati ka modela erozije zasjeke: Bakker. Le Heuxov i Fisher. Lehmannov. Usposrednom analizom utvr eno je da, nakon po etne relaksacije zasjeke, Fisher. Lehmannov model najbolje opisuje eroziju na odabranim pilot lokacijama u podru ju Dalmacije. Pri tome Bakker. Le Heuxov model je po0eljno kombinirati s Fisher. Lehmannov modelom za simulaciju po etnog rastere enja kod izvedbe strmijih zasjeke ili koristiti bilinerarni kriterij prema autoru.

Zabilje0eni nagibi slobodnog pokosa zasjeke na ovom podru ju kre u se u rasponu od oko 70° do 80° , osim u slu ajevima kada pri izvedbi odabran bla0i pokos. Nagib sipara u rasponu od 35° do 38° , bez obzira na tip materijala ili odnos udjela mekzih i vrz ih slojeva, ukoliko je rije o fliznom slijedu. Prosje na godiznja erozija zabilje0ena na svim pilot lokacijama kre e se u rasponu od 3 do 7 cm/god (prosje no 5 cm/god) za zasjeku na kopnu, do 10 cm/god za obalne klifove. Navedene vrijednosti su isklju ivo orientacijske, utvr ene na vize profila za svaku odabranu lokaciju kao prosje na vrijednost za kratko razdoblje opa0anja te je lokalno mogu a pojava i ve ih vrijednosti.

Za potpunu analizu stabilnosti zasjeke u vremenu, potrebno uvijek sagledati mogu nost pojave lokalnih nestabilnosti kao zto su: klizanja po primarnim i sekundarnim pukotinskim sustavima, prelaganje, odron uzrokovan diferencijalnom rastrozbom i erozijom ili pojavu klizizta.

U kona nici potrebno je naglasiti nekoliko prednosti TLS-a uo enih u ovom radu u odnosu na klasi ne metode opa0anja. U prvom redu pribavljanje podataka je brzo i detaljno, za razliku od drugih metoda opa0anja omogu ava kreiranje detaljnih modela zasjeke bez potrebe pristupanja istim, zto naj ez e kod strmih zasjeke nije ni mogu e ili je opasno za provoditelja (npr. jedan od zasjek na lokaciji kamenoloma s10. kolovoz%je visine 22,5 m i nagiba 78°).

Kroz raunalne alate koji koriste ICP algoritam (npr. Polyworks IMAlign), ili sli ne algoritme koji se temelje na metodi najmanjih kvadrata i minimiziranju sume Euklidske udaljenosti referentnog i pomi nog oblaka to aka, mogu e je nakon georeferenciranja referentnog modela zna ajno pojednostavniti postupak dalnjeg prikupljanja podataka. Naime, utvr ivanjem fiksnih objekata i/ili geolo0kih lanova koji nisu podlo0ni eroziji u in0enjerskom razdoblju vremena te koriztenjem istih za preklapanje s referentnim modelom, posrednim putem se vrzi georeferenciranje pribavljenog oblaka to aka u promatranoj epohi. S time se izbjegava anga0iranje dodatne opreme za svaku narednu epohu mjerjenja te se opa0anje mo0e vrziti samo uz upotrebu TLS-a.



Uspostavom dugoro nih monitoringa (s trajanjem od pet, deset, pa i vize godina) i pokrivanjem cijelog vremenskog toka promjene morfologije zasjeke, po prvi put imamo mogu nost detaljno razotkriti procese koji ih uzrokuju i na in na koji se manifestiraju. Jedan od smjerova je svakako, uz dugoro ni monitoring, popratiti i atmosferske utjecaje: vjetra, oborina, osun anosti zasjeke, ali i orijentacije zasjeke, uslojenosti, udjela pojedinih geolozih lanova i sl.

LITERATURA

- [1] Miz evi , P., Vlastelica, G. (2012.): Stabilnostuvremenukosineiskopaneulaporu. Gra evinar 64/6, 451-461.
- [2] Vlastelica, G. (2015.): Utjecaj rastrozbe na trajnost zasjeke u mekoj stijeni, Doktorski rad, Sveu ilizte u Splitu, Fakultet gra evinarstva, arhitekture i geodezije, Split.
- [3] National Oceanic and Atmospheric Administration (NOAA) Coastal Services Center (2012.): Lidar 101: An Introduction to Lidar Technology, Data, and Applications. Revised. Charleston, SC: NOAA Coastal Services Center.
- [4] Lim, M., Rosser, N. J., Allison, R. J., Petley, D. N. (2009.): Erosional processes in the hard rock coastal cliffs at Staithes, North Yorkshire. Geomorphology, 114(1. 2), 12. 21.
- [5] Dewez, T., Gebrayel, D., Lhomme, D., Robin, Y. (2009.): Quantifying morphological changes of sandy coasts by photogrammetry and cliff coasts by lasergrammetry. La Houille Blanche, 1, 32. 37.
- [6] Perroy, R.L., Bookhagen, B., Asner, G.P., Chadwick, O.A. (2010.): Comparison of gully erosion estimates using airborne and ground-based LiDAR on Santa Cruz Island, California. Geomorphology 118, 288. 300.
- [7] Miz evi , P. (2004.): Uvod u in0enjersku mehaniku stijena. Gra evinski fakultet Sveu ilizta u Splitu.
- [8] Franklin, J.A., Dusseault, M.B. (1989.): Rock Engineering. McGraw-Hill, New York, 600 pp.
- [8a] Fookes, P.G., Gourley, C.S., Ohikere, C. (1988.): Rock weathering in engineering time. Quar. J. of Engin. Geology 21: 33-57.
- [9] Gulam, V. (2012.): Erozija ogolina u flizu srediznje Istre, Doktorski rad, Sveu ilizte u Zagrebu, Rudarsko-geolozi-naftni fakultet, Zagreb.
- [10] Huisman, M. (2006.): Assessment of rock mass decay in artificial slopes. Technische Universiteit Delft . Phd thesis.
- [11] Kordi , B. (2014.): Razvoj metode trodimenzionalnoga terestri koga laserskoga skeniranja kod odre ivanja i analize pomaka povrzine klizista. Sveu ilizte u Zagrebu, Geodetski Fakultet. Doktorski rad
- [12] Petrie, G., Toth, C.K., (2008.): Introduction to laser ranging, profiling and scanning. In: Shan, J., Toth, C.K. (Eds.), Topographic Laser Ranging and Scanning: Principles and Processing. CRC Press / Taylor & Francis, London, pp. 1. 28.
- [13] Teza, G., Galgaro, A., Zaltron, N., Genevois, R. (2007.): Terrestrial laser scanner to detect landslide displacement fields: a new approach. Int. J. Remote Sens. 28, 3425. 3446.
- [14] Abellan, A., Vilaplana, J. M., Calvet, J., Garcia-Selles, D., Asensio, E. (2011.): Rockfall monitoring by Terrestrial Laser Scanning . case study of the basaltic rock



face at Castellfollit de la Roca (Catalonia, Spain). *Nat. Hazards Earth Syst. Sci.*, 11, 829. 841.

- [15] Lim, M., Rosser, N. J., Allison, R. J., Petley, D. N. (2009.): Erosional processes in the hard rock coastal cliffs at Staithes, North Yorkshire. *Geomorphology*, 114 (1. 2), 12. 21.
- [16] Abellan, A., Calvet, J., Vilaplana, J. M., Blanchard, J. (2010.): Detection and spatial prediction of rockfalls by means of terrestrial laser scanner monitoring. *Geomorphology*, 119(3-4), 162. 171.
- [17] Vlastelica, G., Miz evi , P., Fukuoka, H., Smailbegovi , A. (2011.): First Experience with Ground Based LiDAR in Omiz and Du e Areas. Proc. of the 2nd Project Workshop on Risk Identification and Land-Use Planning for Disaster Mitigation of Landslides and Floods. Rijeka (Croatia), 15-17 November 2011, pp. 37-41.
- [18] Fisher, O. (1866.): On the disintegration of a chalk cliff, *Geological Magazine*, 3, 354. 356.
- [19] Lehmann, O. (1933.): Morphologische Theorie der Verwitterung von Steinschlagwänden. *Vierteljahrsschrift der Naturforschende Gesellschaft in Zurich*, 78, 83. 126.
- [20] Hutchinson, J.N. (1998.): A small-scale field check on the Fisher. Lehmann and Bakker. Le Heux cliff degradation models. *Earth Surface Processes and Landforms* 23, 913. 926.
- [21] Bakker, J.P., Le Heux J.W.N. (1946.): Projective-geometric treatment of O. Lehmann's theory of the transformation of steep mountain slopes. *Proceedings Koninklijke Nederlandse Akademie van Wetenschappen (KNAW)* 49(5): 533-547.
- [22] Huisman, M., Nieuwenhuis, J.D., Hack, H.R.G.K. (2011.): Numerical modelling of combined erosion and weathering of slopes in weak rock. *Earth Surf. Process. Landforms* 36, 1705-1714.